MC鉄塔主柱材の軽量化に関する研究

A Study on Weight-Saving for MC-Type Transmission Tower

大山 卓也 *1、水口 一義 *2、野村 憲一郎 *3、重本 広志 *4、滝下 昌洋 *5、本田 和哉 *6、内川 啓 *7

1. はじめに

主柱材にコンクリート充填鋼管を用いた送電用鉄塔(以 下、MC鉄塔と称す)では、部材の細長比を小さくすれ ば引張降伏軸力よりも圧縮座屈耐力が高くなり、外力作 用時に主柱材の引張降伏を先行して生じさせる設計が可 能となるため、安全性の高い鉄塔を構築することができ る。

MC鉄塔主柱材へのコンクリート充塡は現場施工が主 流であったが、充填不良を少なくするため1985年以降 は工場充填を採用し、品質の向上を図ってきた。しかし、 工場充填すると部材重量が増加することや、現場施工時 の重量制限に収まるように部材長さを短くすると継手が 増えるなど、運搬費や組立費が増加する弊害が生じた。 そのため、MC鉄塔主柱材を軽量化するための検討が継 続的に行われてきた。

表-1にMC鉄塔主柱材の変遷概要を示す。主柱材の 軽量化は、充填材の軽量化と鋼管の厚肉化および高強度 化によって行われてきた。表-1中に示すn値は鋼管と充 填材のヤング係数比であり、コンクリート充填鋼管の圧 縮座屈耐力に関わる値である。送電用鉄塔の設計に用い られる送電用支持物設計標準1)の座屈耐力計算式(以下、 JEC式と称す)では、座屈耐力 P_k の算定に用いる座屈 応力 σ_k と充填鋼管の等価断面積 A_e のいずれにもn値が 関係しており、n値が大きくなれば P_k は小さくなる関 係となっている(付録の式(1)参照)。

今後、鉄塔の高経年化に伴って大型改修工事が大幅に 増加すると見込まれるため、建設費に多大な影響を与え るMC鉄塔主柱材の重量を削減することは、喫緊の課題 となっている。

本研究では、充填材を従来よりも更に軽量化するため、 充填材に軽量型無収縮モルタルおよび気泡コンクリート を採用した場合の主柱材の座屈耐力を把握するとともに、 座屈耐力 P_k の算定に用いるn値を20とすることの妥当 性を確認するため、MC鉄塔主柱材の座屈試験を行った。

既往の軽量化 今回の軽量化 充填鋼管の 概要 コンクリートの軽量化 鋼管の厚肉化 鋼管の高強度化 充填材の更なる軽量化 鋼管 STKT590 STK50 STK540 STK540 STKT590 充填材 普涌コンクリート 軽量コンクリート 軽量コンクリート 軽量コンクリート 軽量型無収縮モルタル 充填材比重 1.6程度 2.3 1.8 1.8 1.8 20程度 n値

表-1 MC鉄塔主柱材の変遷概要

*1 OHYAMA Takuya

:(一財) 日本建築総合試験所 試験研究センター 構造部 構造試験室 主査

*2 MIZUGUCHI Kazuyoshi :(一財) 日本建築総合試験所 試験研究センター 構造部 構造試験室

*3 NOMURA Kenichiro *4 SHIGEMOTO Hiroshi

: 関西電力株式会社 送配電カンパニー 電力システム技術センター 架空送電グループ副長 : 関西電力株式会社 送配電カンパニー 電力システム技術センター 架空送電グループ

*5 TAKISHITA Masahiro

:株式会社酒井鉄工所 鉄塔事業本部 取締役設計部長

*6 HONDA Kazuva

:株式会社酒井鉄工所 鉄塔事業本部 設計部主任

*7 UCHIKAWA Kei

:株式会社酒井鉄工所 鉄塔事業本部 設計部部長 工学博士

2. 座屈試験

2.1 試験体および試験方法

試験体一覧を表-2に、試験体の例を図-1に示す。試験体パラメータは鋼管断面(ϕ 139.8×4.5、 ϕ 190.7×6.0、 ϕ 267.4×7.0の3種類)、充填材(軽量型無収縮モルタル、気泡コンクリートの2種類)、および有効細長比 λ e(19、38、57、77、96の5種類)であり、計25体である。

表-2 座屈試験の試験体一覧

試験体名	鋼管断面	充填材	座屈長さ L_k (mm)	有効 細長比 λ _e (n=20)		
83-40-M-1	φ 267.4×7.0	軽量型無収縮		38		
83-40-M-2	(STKT590)	軽単空無収網 モルタル	3,200			
83-40-M-3	(81111000)					
91-40-M-1			1,700	38		
91-40-M-2						
91-80-M-1	φ 139.8×4.5	軽量型無収縮	3,400	77		
91-80-M-2	(STKT590)	モルタル	-,	96 19		
91-100-M-1			4,250	96		
91-100-M-2						
92-20-M-1		軽量型無収縮 モルタル				
92-20-M-2	φ 190.7×6.0 (STKT590)		1,150	19		
92-20-C		気泡コンクリート				
92-40-M-1 92-40-M-2		軽量型無収縮 モルタル	0.000			
			2,300	38		
92-40-C		気泡コンクリート				
92-60-M-1 92-60-M-2		軽量型無収縮 モルタル	0.450			
		· · · · · · · · · · · · · · · · · · ·	3,450	57		
92-60-C		気泡コンクリート				
93-20-M-1		軽量型無収縮	4 000	4.0		
93-20-M-2	φ 267.4×7.0 (STKT590)	モルタル	1,600	19		
93-20-C		気泡コンクリート				
93-40-C			3,200	38		
93-60-M-1		軽量型無収縮				
93-60-M-2		モルタル	4,800	57		
93-60-C		気泡コンクリート				

凡例: <u>83-40-M</u>-1-枝番

 $1: \phi 139.8 \times 4.5$ 、 $2: \phi 190.7 \times 6.0$ 、 $3: \phi 267.4 \times 7.0$ 試験実施年度:8:平成28年度、9:平成29年度

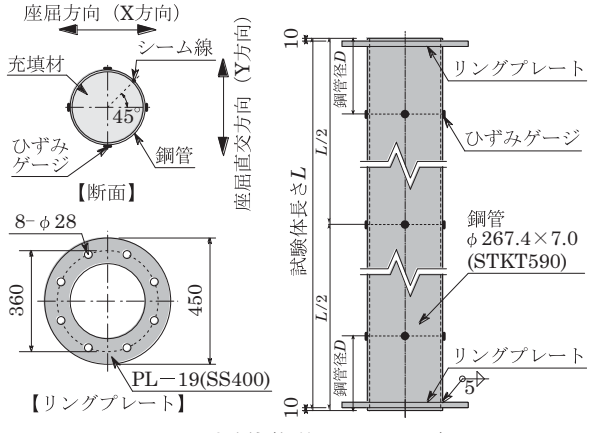


図-1 試験体(鋼管 φ 267.4×7.0)

試験体は試験体長さLが座屈長さ L_k と一致するように計画されており、 $\mathbf{表}$ -2中の有効細長比はn値を20として算出している。試験体の両材端には載荷用治具を取り付けるためのリングプレートが溶接されている。

試験方法を図-2に示す。試験体の両端に円筒形支承を取り付けて両端をピン支持の条件とし、10MN試験機によって試験体芯に単調軸圧縮力を加える方法で載荷した。なお、円筒形支承の回転中心は試験体端部にあり、試験体長さLは座屈長さ L_k と一致する。

図-1、図-2に示すように、材端から鋼管径Dだけ離れた位置と中央に2軸ひずみゲージを4枚ずつ貼付している。また、上下の円筒形支承に取り付けた計測フレームに変位計を設置し、軸方向変位と中央の横たわみを計測した。

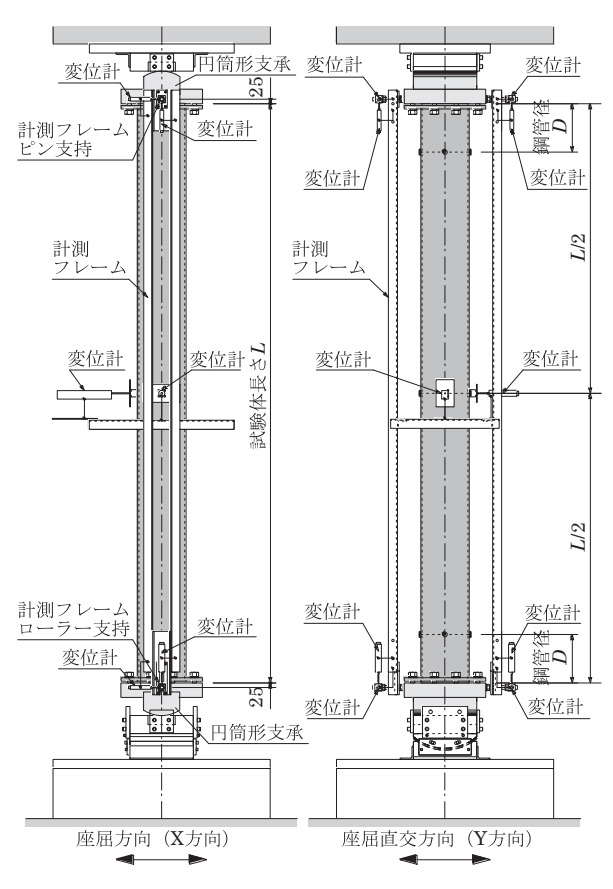


図-2 試験方法(鋼管φ267.4×7.0)

表-3に座屈試験に用いた鋼管の素材試験結果を、表-4には充填材の材料試験結果を示す。鋼管はいずれも鉄塔用高張力鋼管STKT590であり、充填材の軽量型無収縮モルタルは「太平洋プレユーロックスLW30」、気泡コンクリートは「発泡スチロール(EPS)コンクリート」である。平成28年度の軽量型無収縮モルタルの座屈試

験日材齢は32日と35日であり、平成29年度の座屈試験 日の材齢は、軽量型無収縮モルタルが38日から58日、 気泡コンクリートが28日から41日である。

2. 2 試験結果

図-3に軸圧縮力Pと軸方向変形 δ_v の関係を、図-4には軸圧縮力Pと中央たわみ δ_x の関係を示す。また、表-5に試験結果の最大耐力と式(1)による座屈耐力計算値を示す。

いずれの試験体も、図-2に示す座屈方向に全体座屈を生じて耐力が低下した。有効細長比が80と100の試験体を除き、試験体鋼管の長さ方向の中央部または端部付近に局部座屈が発生している。局部座屈は有効細長比が小さい試験体ほど顕著であった。また、有効細長比が80と100の試験体は、中央に貼付したひずみゲージの値が降伏ひずみに達する以前に全体座屈を生じて耐力低下したが、有効細長比が20、40、60の試験体では、最大耐力以前に降伏ひずみに達している。

試験終了後の変形状況を写真-1に示す。

表-3 鋼管の素材試験結果

鋼管断面	鋼種	σ_{sy} (N/mm ²)	σ_{su} (N/mm ²)	伸び (%)	試験実施 年度	
$\phi 267.4 \times 7.0$	STKT590	555	625	26	平成28年度	
$\phi 139.8 \times 4.5$		598	671	22		
ϕ 190.7×6.0		579	630	24	平成29年度	
$\phi 267.4 \times 7.0$		612	689	26		

 O_{sy} : 0.2%off-set降伏耐力、 O_{su} : 引張強さ 試験片形状: 12B号試験片(試験体径: ϕ 139.8) 12C号試験片(試験体径: ϕ 190.7、 ϕ 267.4)

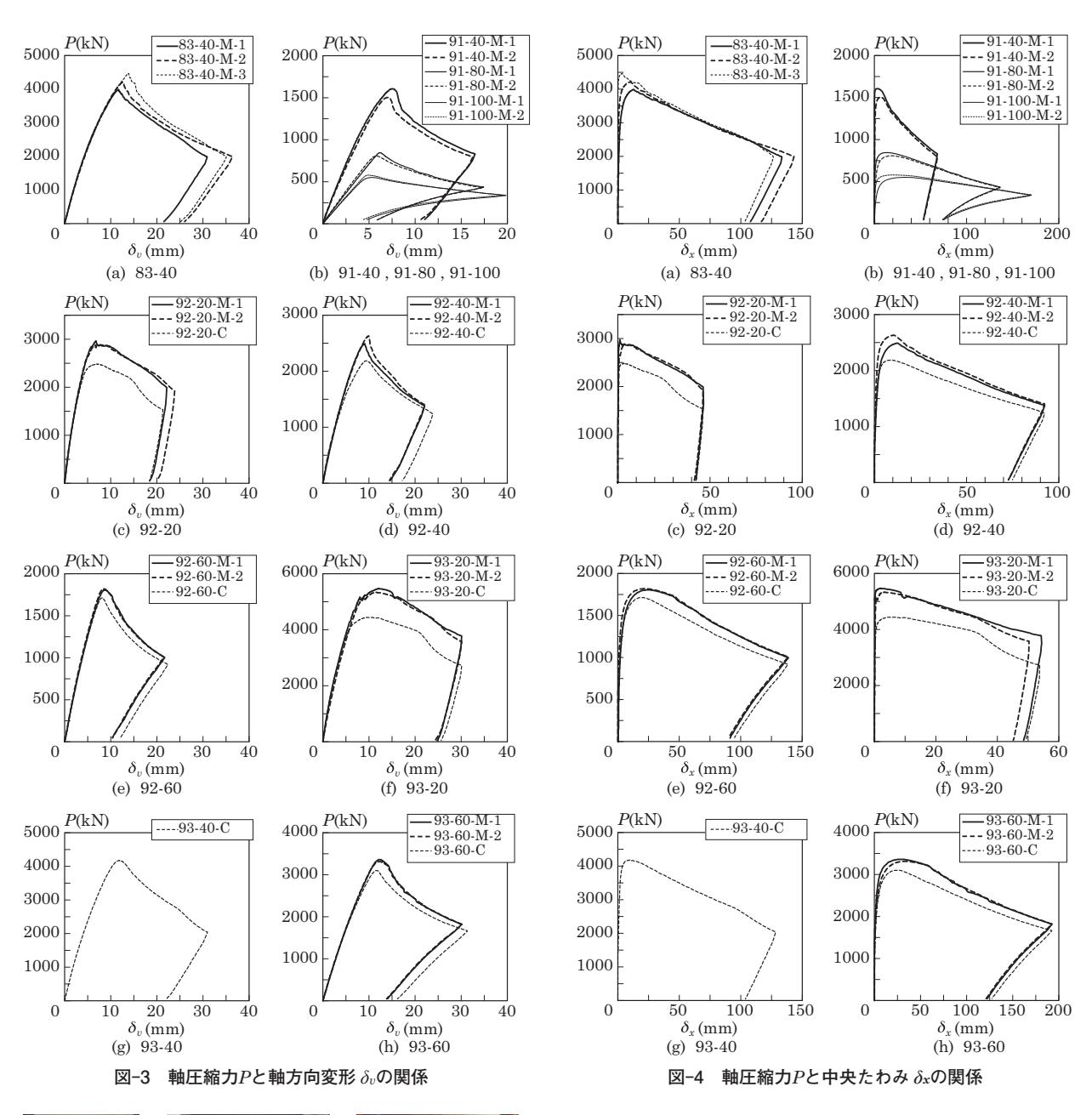
表-4 充填材の材料試験結果

充填材	材齢	ρ (kN/m ³)	σ_B (N/mm ²)	$\frac{E_c}{(\mathrm{kN/mm}^2)}$	試験実施 年度		
軽量型無収縮モルタル	7日	15.1	31.2	-			
	28日	15.0	33.3	7.99	平成28年度		
	32 ∃	15.1	33.9	-			
軽量型無収縮モルタル	7日	-	44.4	-			
	28 ∃	16.1	44.4	11.2			
	34 ∃	16.3	49.7	-			
	58 ∃	16.3	47.8	-	平成29年度		
気泡 コンクリート	7日	-	25.8	-			
	28 🗏	15.1	30.2	12.7			
	41 ∃	15.0	29.8	-			

ho:単位容積重量、 σ_B :圧縮強度、 E_c :静弾性係数 供試体形状: ϕ 100mmimes 200mm

表-5 試験結果の最大耐力と座屈耐力計算値一覧

衣-5 試験結果の取入門力と座出門力計昇他一覧												
試験体 試			試験結果	計算値					試験結果と			
				最大耐力 $P_{\max}(kN)$	Λ	n=12	2の場合	n=20	n=20の場合		計算値の比較	
試験体名 鋼管断面	充填材	座屈長さ L_k (mm)	有効 細長比 λ _e (n=12)			座屈耐力 P_k (n =12) (kN)	有効 細長比 λ _e (n=20)	座屈耐力 P_k (n=20) (kN)	$\frac{P_{\max}}{P_{k(n=12)}}$	$\frac{P_{\max}}{P_k{\scriptstyle (n=20)}}$		
83-40-M-1			3,200	3,986	64	39	4,688	38	3,945	0.85	1.01	
83-40-M-2	$\phi 267.4 \times 7.0$			4,213	64	39	4,688	38	3,945	0.90	1.07	
83-40-M-3	(STKT590)			4,468	64	39	4,688	38	3,945	0.95	1.13	
91-40-M-1		TTT-7/1/10 (A.118)	1.700	1,607	62	40	1,519	38	1,311	1.06	1.23	
91-40-M-2			1,700	1,503	62	40	1,519	38	1,311	0.99	1.15	
91-80-M-1	$\phi 139.7 \times 4.5$		3,400	846	62	79	669	77	611	1.26	1.38	
91-80-M-2	(STKT590)			808	62	79	669	77	611	1.21	1.32	
91-100-M-1			4,250	550	62	99	428	96	391	1.29	1.41	
91-100-M-2				579	62	99	428	96	391	1.35	1.48	
92-20-M-1		軽量型無収縮 モルタル	1,150	2,962	63	20	3,101	19	2,643	0.96	1.12	
92-20-M-2				2,886	63	20	3,101	19	2,643	0.93	1.09	
92-20-C		気泡コンクリート		2,481	63	20	3,101	19	2,643	0.80	0.94	
92-40-M-1	+100.7×C.0	φ190.7×6.0 (STKT500) 軽量型無収縮 モルタル	2,300	2,492	63	39	2,726	38	2,346	0.91	1.06	
92-40-M-2	φ 190.7 × 6.0 (STKT590)			2,634	63	39	2,726	38	2,346	0.97	1.12	
92-40-C	(S1K1550)	気泡コンクリート		2,188	63	39	2,726	38	2,346	0.80	0.93	
92-60-M-1		軽量型無収縮 モルタル :	3,450	1,810	63	59	2,102	57	1,852	0.86	0.98	
92-60-M-2				1,819	63	59	2,102	57	1,852	0.87	0.98	
92-60-C		気泡コンクリート		1,712	63	59	2,102	57	1,852	0.81	0.92	
93-20-M-1	φ267.4×7.0 (STKT590)	軽量型無収縮	1,600	5,467	61	20	5,827	19	4,856	0.94	1.13	
93-20-M-2		モルタル		5,329	61	20	5,827	19	4,856	0.91	1.10	
93-20-C				4,443	61	20	5,827	19	4,856	0.76	0.91	
93-40-C			3,200	4,172	61	39	5,077	38	4,279	0.82	0.97	
93-60-M-1		軽量型無収縮 モルタル	4,800	3,361	61	59	3,827	57	3,317	0.88	1.01	
93-60-M-2				3,314	61	59	3,827	57	3,317	0.87	1.00	
93-60-C		気泡コンクリート		3,102	61	59	3,827	57	3,317	0.81	0.94	





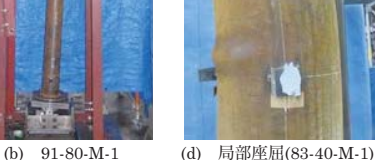


写真-1 試験後の変形状況

83-40-M-1

(a)

最大耐力と座屈耐力計算値との比較

図-5に、JEC式(式(1))によって求めた座屈耐力計 算値Pkと有効細長比 λeの関係を示す。実線は鋼管と充 填材のヤング係数比nを12とした場合であり、破線は n=20の場合である。また、図中には試験結果の最大耐 力Pmaxをプロットしており、○は充填材が軽量型無収 縮モルタルの場合、●は充填材が気泡コンクリートの場 合である。なお、 P_{max} のプロットに用いた有効細長比 λeは、表-5の n=20の場合とした。

鋼管断面が φ139.8×4.5の試験体は充填材が全て軽量 型無収縮モルタルであるが、座屈試験の最大耐力 Pmax は 試験体91-40-M-2を除いてn=12の座屈耐力計算値 $P_{k(n=12)}$

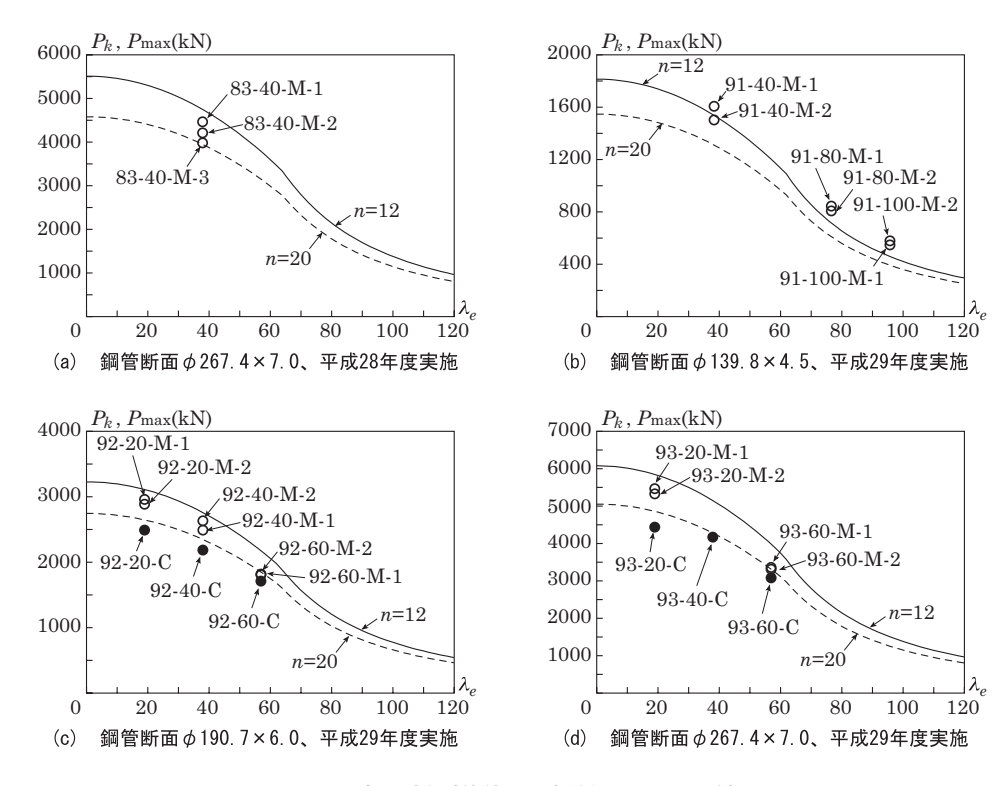


図-5 座屈耐力計算値Pkと有効細長比 λeの関係

を上回る結果となった。一方、鋼管断面が ϕ 190.7×6.0 と ϕ 267.4×7.0で充填材が軽量型無収縮モルタルの場合、座屈試験の最大耐力 P_{\max} はn=12の座屈耐力計算値 P_k (n=12)以下となったが、試験体92-60-M-1と92-60-M-2を除けばn=20の座屈耐力計算値 P_k (n=20)を上回っている。試験体92-60-M-1と92-60-M-2の P_{\max} を P_k (n=20)で除した値はいずれも0.98であることを踏まえれば、ヤング係数比を20とした座屈耐力計算値 P_k (n=20)は、充填材に軽量型無収縮モルタルを採用したMC鉄塔主柱材の座屈耐力の下限と考えられる。

充填材が気泡コンクリートの場合、座屈試験の最大耐力 P_{max} はいずれも充填材が軽量型無収縮モルタルの場合よりも小さく、n=20の座屈耐力計算値 $P_{k(n=20)}$ に対する P_{max} の割合は $0.91\sim0.97$ であった。

表-4に示す充填材の材料試験結果によれば、ヤング係数 E_c は気泡コンクリートが最も大きく、平成28年度の軽量型無収縮モルタルが最も小さい。JEC式では、充填材のヤング係数 E_c が大きい(ヤング係数 E_n が小さい)ほど座屈耐力 P_k は大きくなるが、座屈試験の結果はJEC式の傾向と異なっている。すなわち、図-5 (c)、(d) に示す充填材が気泡コンクリートの場合の P_{\max} は、充填材を軽量型無収縮モルタルとした場合に比べて小さく、有効細長比 k_e が小さいほどその傾向は顕著となっている。これは、気泡コンクリートの圧縮強度 σ_B が軽

量型無収縮モルタルよりもかなり小さいことが要因と考えられ、降伏応力の高い鋼管に圧縮強度が相対的に小さい充填材を用いているためである。

座屈耐力 P_k を求めるJEC式では、充填材のヤング係数は考慮されるが圧縮強度は考慮されない。そのため、今回の軽量化では座屈試験によって最大耐力を確認し、試験結果とJEC式とを比較することにより、MC鉄塔主柱材の座屈耐力をJEC式により評価可能であることを確認する手法を用いた。座屈試験の結果、充填材が気泡コンクリートの場合に $P_{\max}/P_{k(n=20)}$ は $0.91\sim0.97$ とやや低い結果となったが、いずれの充填材を用いてもヤング係数比を20としてJEC式により座屈耐力を評価することに問題はないと判断している。

3. おわりに

本稿では、充填材に軽量型無収縮モルタルおよび気泡コンクリートを採用した場合の主柱材の座屈耐力を把握するとともに、座屈耐力 P_k の算定に用いるn値を20とすることの妥当性を確認するために行ったMC鉄塔主柱材の座屈試験について述べた。

充填材が軽量型無収縮モルタルの場合、ヤング係数比を20とした座屈耐力計算値 $P_{k(n=20)}$ に対する座屈試験の最大耐力 P_{\max} の割合($P_{\max}/P_{k(n=20)}$)は $0.98\sim1.48$ となった。一方、充填材が気泡コンクリートの場合には、

 $P_{\text{max}}/P_{k(n=20)}$ は0.91~0.97とやや低い結果となったが、 いずれの充填材を用いてもヤング係数比を20として座 屈耐力を評価することに問題はないことを確認した。

【参考文献】

1) 電気学会電気規格調査会編: JEC-127 送電用支持物設計標準, 電気書院, 1980.8

【付録】

送電用鉄塔の設計に用いられる送電用支持物設計標準の座屈耐 力計算式は、式(1)で与えられる。

$$P_k = \sigma_k \times A_e \tag{1}$$

$$\sigma_{k} = \begin{cases} \sigma_{y} \left\{ 1 - 0.352 \left(\frac{\lambda_{e}}{\pi \sqrt{E_{s} / \sigma_{y}}} \right)^{2} \right\} & (0 \le \lambda_{e} \le \Lambda) \\ \frac{1.5}{2.2} \frac{\pi^{2} E_{s}}{\lambda_{-}^{2}} & (\lambda_{e} \ge \Lambda) \end{cases}$$

$$\lambda_e = \frac{L_k}{r_e} \quad \text{,} \quad \Lambda = \pi \sqrt{\frac{1.5 E_s}{2.2 \times 0.6 \sigma_y}}$$

$$r_e = \sqrt{\frac{I_s + I_c \: / \: n}{A_s + A_c \: / \: n}} \quad , \quad A_e = A_s + \frac{A_c}{n} \quad , \quad n = \frac{E_s}{E_c}$$

 σ_k : 座屈応力、 σ_y : 鋼管の降伏応力

Lk: 座屈長さ、 λe: 有効細長比

Λ:有効細長比 λe の境界値

re: 充填鋼管の等価断面2次半径

 A_s , I_s : 鋼管の断面積と断面 2 次モーメント A_c , I_c : 充填材の断面積と断面2次モーメント

Ae: 充填鋼管の等価断面積

 E_s :鋼管のヤング係数、n:ヤング係数比

 E_c : 充填材のヤング係数

【執筆者】



*1 大山 卓也



*2 水口一義 (OHYAMA Takuya) (MIZUGUCHI Kazuyoshi) (NOMURA Kenichiro)



*3 野村 憲一郎



*4 重本 広志 (SHIGEMOTO Hiroshi) (TAKISHITA Masahiro)



*5 滝下 昌洋



*6 本田和哉 (HONDA Kazuya)



*7 内川 啓 (UCHIKAWA Kei)